

احتمالية الانتقالات الكهربائية رباعية القطب والمغناطيسية ثنائية القطب ونسب الخلط لنظير البلاتين ذو العدد الكتلي 198 والعدد الذري 78 باستخدام نموذج البوزونات المتفاعلة الاول

خالد سلمان ابراهيم ، ايمان طارق العلوي و هدى طلال سليمان
قسم الفيزياء ، كلية العلوم ، الجامعة المستنصرية

الخلاصة

أستخدم نموذج البوزونات المتفاعلة الأول (IBM-1) في حساب كل من مستويات الطاقة ولنتقالاتها للتناظرات الديناميكية $U(5)$, $SU(3)$, $O(6)$ وحزم كل من $\beta - \gamma$, $B(E2)$, Q_2^+ , $B(M1)$, μ_1 , g_1 , δ . الغرض من هذه الحسابات هو لمعرفة طبيعة تصرف الحركة الجماعية لهذا النظير وتحديد التناظر الديناميكي الذي ينتمي اليه . وقد توصلنا الى أن اسلوب النوي للنظير $Z=78$, $Pt-198$ يقع ضمن المنطقة الانتقالية $U(5)-SU(3)-O(6)$ كما أن حسابات كل من Q_2^+ , Q_2^+ بينت أنه يقع بين الشكل البيضوي المفلطح (Oblate) و الشكل البيضوي المتطاول (Prolate) . أظهرت مقارنة نتائج حساباتنا وفق نموذج (IBM-1) مع ما هو متوفر من نتائج عملية فكانت متوافقة في معظمها .

المقدمة

أن التركيب النووي لنظير البلاتينيوم ($A=198$ & $Z=78$) الزوجي -زوجي قد تمت دراسته وتحديد سلوكه في هذا البحث باستخدام نموذج البوزونات المتفاعلة الأول (IBM-1). أن بوزونات البروتون (نيوترون) والتي تملك زخما زاويا" مقداره صفرا

(I=0) تعرف $S_{\pi} (S_{\pi})$ وهذه تسمى s-boson أما التي تمتلك زخما زاوما مقداره
 أثنان (I=2) تعرف $d_{\pi} (d_{\pi})$ وهذه تسمى d-boson . ففي هذا البحث تم الأخذ بنظر
 الاعتبار عدد الأزواج التكافؤية من البروتون (النيوترون) والتي تعرف $(N_{\pi}, N_{\bar{\pi}})$.
 (3-1)

ان انحلال المستويات النووية المثيجة يؤدي الى انبعاث أشعة كما ويتم تحديد نوع
 الاشعاع الكامي المنبعث فيما اذا كان متعدد قطب كهربائي أو مغناطيسي أو خليط من
 كليهما حسب قواعد الانتقاء للبرم النووي والتماثل . Cizewski وجماعته (1981) (4)
 درسوا مستويات الطاقة لنظيري Pt ($A=198,200$) فبينوا أن هذين النظيرين يكونان
 اكثر اهتزازا من نظائري Pt الخفيفة الا أن الشكل العام لكافة نظائر Pt يكون بيضويا
 مقلطحا (oblate) وبينوا أيضا أن الانتقالات الكهرومغناطيسية الى المستوى الأرضي
 ملائمة مع التناظر الديناميكي O(6) حسب نموذج IBM-1. أما Yates وجماعته (5) فقد
 درسوا في العام نفسه المخطط الانحلالي لنواة النظير Pt-198 والذي تكون طاقته
 المثيجة اقل من 1.5 MeV كما قاسوا شدة انحلال أشعة كما للمستويات المثيجة ، وفي
 سنة (1983) (6) درست المجموعة نفسها مستويات الطاقة الواطنة للنظير (Pt-198)
 بوساطة تفاعلات $(n, n \gamma)$ عند النيوترون الساقط الذي يمتلك طاقة اقل من 2.5MeV
 لدراسة المستويات المثيجة اذ تمكنت من تمييز مستويات الطاقة التي تضمنت 16 مستويا
 مثيجا .

تضمنت الدراسة الحالية حساب قيم الطاقات نظريا ومقارنتها مع القيم العملية
 المتوفرة وانتقالاتها للتناظرات الديناميكية الاهتزازية والدورانية وكما- غير المستقرة
 والمتمثلة بالزمر الفرعية U(5)، SU(3)، O(6) على التوالي . وتم كذلك حساب الحزم
 لكل من (g, β, γ) واحتمالية الانتقالات الكهربائية رباعية القطب B(E2) والعزم
 الكهربائي رباعي القطب (Q_1) واحتمالية الانتقالات المغناطيسية ثنائية القطب B(M1)
 والعزم المغناطيسية (μ_1) ومعامل (g_1) وتم أيضا حساب نسب الخلط $(E2/M1)$ δ .
 نهدف في هذا البحث معرفة طبيعة تصرف الحركة الجماعية لهذا النظير من خلال
 أيجاد التناظر الديناميكي الذي ينتمي اليه واعتمادا" على دالة المؤثر الهاملتوني .

الجزء النظري

ان دالة مؤثر هاملتون حسب نموذج (IBM-1) للمنطقة الانتقالية للتناظرات
الديناميكية الثلاث (U(5), SU(3), Q(6)) يمكن كتابتها كما يأتي (2,3,7-10) :

$$\hat{H} = \varepsilon \hat{n}_d + a_0 \hat{p} \cdot \hat{p} + a_1 \hat{I} \cdot \hat{I} + a_2 \hat{O} \cdot \hat{O} + a_3 \hat{T}_3 \cdot \hat{T}_3 + a_4 \hat{T}_4 \cdot \hat{T}_4 \dots \dots \dots [1]$$

وان عملية انتقال أشعة كما بين مستويات الطاقة المثيجة تخضع لقواعد الانتقاء الآتية
(11):

$$\left| I_i - I_f \right| \leq L \leq \left| I_i + I_f \right|$$

أما نوع الاشعاع المنبعث كهربائيا كان أم مغناطيسيا فيتم تحديده بالتماثل (Parity)
بين المستويين الابتدائي (I_i) والنهائي (I_f) وحسب القاعدة $(-1)^L$ و $\pi(E) = \pi_i * \pi_f = (-1)^L$ و
 $\pi(M) = \pi_i * \pi_f = (-1)^{L+1}$. ان مؤثر الانتقال الكهربائي رباعي القطب $\hat{T}^{(E2)}$ يمكن
كتابة كما يأتي (2,3,8) :-

$$\hat{T}^{(E2)} = \alpha \left[\hat{d}^+ \times \hat{S} + \hat{S} + \hat{d} \right]_{\mu}^{(2)} + \beta \left[\hat{d}^+ \times \hat{d} \right]_{\mu}^{(2)} \dots \dots \dots [2]$$

وان احتمالية الانتقالات الكهرومغناطيسية تعطي بالمعادلة الآتية (2,8):-

$$\beta(\pi; I_i - I_f) = \frac{1}{2I_i + 1} \left| \langle I_f \parallel \hat{T}^{(\pi)} \parallel I_i \rangle \right|^2 \dots \dots \dots [3]$$

أما مؤثر الانتقال المغناطيسي ثنائي القطب $\hat{T}^{(M1)}$ بدلالة حدود الجسيم الواحد
والجسيمين (One and Two body terms) يكتب بالصيغة الآتية (8):-

$$\hat{T}_{\mu}^{(M1)} = \beta \left[\hat{d}^+ \times \hat{d} \right]_{\mu}^{(1)} + \alpha \left[\left(\hat{d}^+ \times \hat{S} + \hat{S}^+ \times \hat{d} \right)^{(2)} \times \left(\hat{d}^+ \times \hat{d} \right)^{(1)} \right]_{\mu}^{(1)}$$

$$+ \gamma \left[\left(\hat{d}^+ \times \hat{d} \right)^{(0)} \times \left(\hat{d}^+ \times \hat{d} \right)^{(1)} \right]_{\mu}^{(1)} + \delta \left[\left(\hat{d}^+ \times \hat{d} \right)^{(2)} \times \left(\hat{d}^+ \times \hat{d} \right)^{(1)} \right]_{\mu}^{(1)} + \eta \left[\left(\hat{S}^+ \times \hat{S} \right)^{(0)} \times \left(\hat{d}^+ \times \hat{d} \right)^{(1)} \right]_{\mu}^{(1)} \dots\dots\dots [4]$$

وان العزم المغناطيسي ثنائي القطب يكتب كما يأتي (8):-

$$\mu_1 = \sqrt{\left[\frac{4\pi}{3} \right]} \frac{I}{\sqrt{[I(I+1)(2I+1)]}} \langle I_f \parallel \hat{T}^{(M1)} \parallel I_i \rangle \dots\dots\dots [5]$$

والعامل (g-Factor)(g) يعرف بالصيغة الآتية (8):-

$$g_1 = \frac{\mu_1}{I} \dots\dots\dots [6]$$

أما نسب الخلط $\delta(E2 / M1)$ التي تحدث بين مستويات الطاقة في النواة تعطي بالصيغة الآتية (12،13)

$$\delta(E2 / M1; I_f, -I_f) = 0.835 E_\gamma (MeV) \frac{\langle I_f \parallel \hat{T}^{(E2)} \parallel I_i \rangle eb}{\langle I_f \parallel \hat{T}^{(M1)} \parallel I_i \rangle \mu N} \dots\dots\dots [7]$$

وان نسب الخلط المختزلة (Reduced Delta Mixing gation) نكتب كما يأتي(3):-

$$\Delta(E2 / M1; I_f, -I_f) = \frac{\langle I_f \parallel \hat{T}^{(E2)} \parallel I_i \rangle eb}{\langle I_f \parallel \hat{T}^{(M1)} \parallel I_i \rangle \mu N} \dots\dots\dots [8]$$

النتائج والمناقشة

1- مستويات الطاقة وحزمها:-

لقد تم حساب مستويات الطاقة وانتقالاتها للنظير (Pt-198,Z=78) باستخدام معادلة (1) والتي تمثل دالة المؤثر الهاملتوني (2،3،8-10) للنظير (Pt-198) الذي اتصف بالتصرف الانتقالي U(5)-SU(3)-O(6). يبين الجدول (1) قيم اعلومات دالة المؤثر الهاملتوني الخاصه بهذا النظير والتي تم ايجادها بأستخدام

(approximation method) ويبين الجدول (2) مقارنة مستويات الطاقة النظرية (الحالية) مع القيم العملية المتوفرة حيث أن أغلبها ذو توافق جيد مع بعضها . ويعزى اختلاف البعض الآخر منها الى القياسات العملية التي تحتاج الى أجهزة قياس واحصائيات رياضية . الجول (3) يبين طاقات الحزم الأرضية وبيتا وكاما غير المستقرة ($g, \beta, \gamma - bands$) التي حصلنا عليها ومقارنتها مع القيم العملية للنظير (Pt-198) بالاعتماد على التناظر الديناميكي $O(6) - SU(3) - U(5)$.

يبين الشكل (1) ترتيب مستويات الطاقة بشكل حزم وهي متوافقة بشكل جيد جدا مع حزم الطاقة المتمثلة بالزمر $O(6) - SU(3) - U(5)$ (8،2) وذات توافق جيد في سلوكها العام مع القيم العملية . الجدول (4) يبين قيم اعمومات (β_2, α_2) لعناصر المصفوفة المختزلة ($\langle I, \gamma | T^{(k2)} | I, \gamma \rangle$) للانتقالات الكهربائية رباعية القطب الجدول (5) يبين قيم عناصر المصفوفة المختزلة والاحتمالية للانتقال الكهربائي رباعي القطب $B(E2)$ ومقارنتها مع القيم العملية التي حصلنا عليها عند التناظر الديناميكي $O(6) - SU(3) - U(5)$ ، حيث تم الاعتماد على القيم العملية للانتقال $(B(E2; 2^+ \rightarrow 0_1^+))$ بشكل رئيس.

ولقد قمنا بدراسة احتمالية الانتقالات الكهربائية رباعية القطب $B(E2)$ لنواة هذا النظير في حالة سلوكها التناظر الديناميكي $O(6)$ ومقارنتها مع قيم الاحتمالية في حالة السلوك $O(6) - SU(3) - U(5)$ كدالة للزخم الزاوي فوجدنا أن هنالك فرقا واضحا في نتائج $B(E2)$ بين السلوكين (6) وذلك لان السلوك $U(5)$ يكون ضمن تصرف هذا النظير في مستويات الطاقة والشكل (2) يوضح ذلك . بين الجوال (6) قيم نسب التفرع النظرية (P_w) ومقارنتها مع النسب المثالية (8) لم نعثر على قيم عملية لها للتناظر الديناميكي للنظير (Pt-198) . حيث تم حساب نسب التفرع للتأكيد من ذلك . واعطاء دليل جديد على انتماء هذا النظير للتناظر الديناميكي الانتقالي $O(6) - SU(3) - U(5)$.

2- العزوم الكهربائية رباعية القطب (Q) :- Electric Quadrupole Moments (Q_i)
ان العزوم الكهربائية رباعية القطب تعد مقياسا لتشوه النواة (Nucleus Deformation)، فالنواة الكروية (Spherical Nuclei) تمتلك عزما كهربائيا يساوي

($Q_1=0$)، بينما النوى ذات الشكل البيضوي المتطاوول (Prolate) (11) تمتلك عزما كهربائيا موجبا ($Q_1<0$) وعزما كهربائيا سالبا ($Q_1>0$) النوى ذات الشكل البيضوي المفلطح (Oblate) (11). الجدول (7) يوضح قيم العزوم الكهربائية رباعية القطب Q_2^+ ، Q_2^+ النظرية (PW) للنظير (Pt-198).

وفي بحثنا هذا قمنا باضافة جديدة لتطوير برنامج IBM-1 لجعلة قادرا على حساب $T^{(M1)}$ ، g_i ، M_i ، $B(M1)$ للجسم الواحد والجسيمين (One & Two body terms) من خلال برمجة المعادلات (8،7،6،5) ومن ثم الحاقه ببرنامج IBM-1 الجدول. (8) يوضح قيم المعلومات التي تم الحصول عليها عند افضل (Fiting) للنظير (Pt-198). الجدول (9) يوضح قيم عناصر المصفوفة المختزلة $\langle I_r | \hat{T}^{(M1)} | I_r \rangle$ واحتمالية الانتقالات المغناطيسية ثنائية القطب $B(M1)$ والعزوم المغناطيسية (μ_r) والعامل (g_i) للنظير (Pt-198).

3-نسب الخلط $\delta(E2/M1)$:-

بعد أن تم حساب عناصر المصفوفة المختزلة للانتقال الكهربائي رباعي القطب $\langle I_r | T^{(E2)} | I_r \rangle$ وعناصر المصفوفة المختزلة للانتقال المغناطيسي ثنائي القطب $\langle I_r | \hat{T}^{(M1)} | I_r \rangle$ ، قمنا بحساب نسب الخلط $\delta(E2/M1)$ ونسب الخلط المختزلة $\Delta(E2/M1)$ وذلك حسب المعادلتين (11)، (12). حيث تمت اضافة قطبية الانتقال (E0) بناءا على قواعد الانتقاء.

الجدول (10) يبين نسب الخلط ونسب الخلط المختزلة وتعدد القطبية للانتقالين ($M1, E2$) لهذا النظير من خلال بحثنا الحالي نستنتج أن سلوك التركيب النووي للنظير (Pt) ذي العدد الكتلي (A=198) والعدد الذري (Z=78) يقع ضمن المنطقة الانتقالية $O(6)-SU(3)-U(5)$ كما أن العزوم الكهربائية رباعية القطب قد أعطت نتائج جيدة عن تشوه هذا النظير ، وأوضحت انه يقع بين الشكل البيضوي المفلطح (Oblate) عند حساب عزم رباعي القطب (Q_2^+) والشكل البيضوي المتطاوول (Prolate) عند حساب عزم رباعي القطب (Q_2^+).

المصادر

1. Iachello, F. and Arima, A. (1974). Phys.Lett.B, 53:309.
2. Bonatsos, D. (1988). Interacting Boson models of nuclear structure. Ed. Hodgson P.E. Pub. Oxford University Press, New York. pp.12-37.
3. Casten, R.F. and Warner, D.D. (1988). Rev. Mod. Phys., 60:389.
4. Cizewski, J.A.; Flynn, E.R.; Ronald, E.; Brown, Hanson, D.L.; Orbesen, S. D. and Sunier, J.W.; (1981). Phys. Rev. C. 23:1453.
5. Yates, S.W.; Khan, A.; Mirzaa, M.C. and McEllistrem, M.T. (1981). Phys. Rev. C. 23:1993.
6. Yates, S.W. Khan, A.; Filo, A.J. Mirzaa, M.C. Weil, J.L. and McEllistrem, M.T. (1983). Nuclear Physics A. 406:519.
7. Iachello, f. and Arima, A. (1979). AnnPhys (N.Y) 123,468
8. Arima, A. and Iachello, F. (1987). The interacting Boson model Printed in Great Britain at the University Press, Cambridge, First Published . pp. 4-71.
9. Maino, G.; Ventura, A.; Vansacker, P. and Zuffi, L. (1986). Phys, Rev. C. 33:1089.
10. Arima, A. and Iachello, F. (1981). Ann. Phys. (N.Y) 31:75. Written in : Chiang ,H.C.; Hsieh , S.T. and Kuo, T.T.S. (1988). Phys. Rev. C. 38:2453.
11. Kenneth, S. (1987). Krane, Introductory nuclear physics . Part .2, Pub. In Canada by John Wiley and Sons Oregon state University pp. 143:333.
12. Lange, J.; Kumer, K.M. and Hamilton, J.H. (1982). Rev. of Modern Physics, 54:119.
13. Bohr, A. and Mottelson , B.R. (1969). Nuclear structure .Vol 1. Ed. Bengamin W.A. (1969). Pub Inc Newyork, p.381.
14. Sakai, M. (1984). Atomic and Nuclear Data Tables. 31: 400.
15. Cizewski, J.A. ; Flynn, E.R. ; Brown, R.E. and Sunier, J.W. (1979) . Phys Lett.B, 88:207. Written in : Yates ,S.W. ; Khan, A.; Mirzaa, M.C., and McEllistrem , M.T. (1981). Phys. Rev. C. 23:1993.
16. Kennedy, D.L. ; Stuckbery , A.E. and Bolotion, H.H. (1980) Nuclear Instrum Methods 171:361. phys.Rev. C. 23:1993.
17. Glenn, J.W. ; Saladin , J.X. and Proyer, R.J. (1981). J. Phys., G. Nucl. phys. 7:737.
18. Alomony, S.R. and Borse, G.J. (1971). Nuclear Physics A. 171:660.

جدول (1): قيم اعلومات مؤثر الدالة الهاملتونية لنظير البلاتينيوم ($Pt(A=198)$)

Isotopes	$N\pi$	$N\nu$	N	EPS (MeV)	$\hat{p}^+ \hat{p}$ (MeV)	$\hat{I} \hat{I}$ (MeV)	$Q \cdot Q$ (MeV)	$\hat{T}_3 \hat{T}_3$ (MeV)	$\hat{T}_4 \hat{T}_4$ (MeV)	CHI
$^{198}_{78}Pt_{120}$	2	3	5	0.0100	0.0420	0.0280	-0.0320	0.0200	0.0100	-1.1200

جدول (2): مستويات الطاقة النظرية وانتقالاتها ومقارنتها مع القيم العملية

للنظير $^{198}_{78}Pt_{120}$ عند التناظر الديناميكي $O(6)-SU(3)-U(5)$

I^+	Energy(MeV)		$I_i^+ - I_f^+$	Transition Energy(MeV)	
	Exp(5)	(IBM-1) (PW)		Exp(5)	(IBM-1)(PW)
0_1^+	0.000	0.0000			
2_1^+	0.4072	0.2508	$2_1^+ \rightarrow 0_1^+$	0.4072	0.2508
2_2^+	0.7746	0.9868	$2_2^+ \rightarrow 2_1^+$ $2_2^+ \rightarrow 0_1^+$	0.3674 0.7746	0.7360 0.9868
0_2^+	0.9145	0.9590	$0_2^+ \rightarrow 2_1^+$	0.5073	0.7082
4_1^+	0.9850	0.8367	$4_1^+ \rightarrow 2_1^+$	0.5778	0.5859
3_1^+	1.2477	1.2499	$3_1^+ \rightarrow 2_2^+$	0.4731	0.2631
2_3^+	1.2797	1.2539	$2_3^+ \rightarrow 2_2^+$ $2_3^+ \rightarrow 2_1^+$ $2_3^+ \rightarrow 0_1^+$	0.5051 0.8725 1.2797	0.2671 1.0031 1.2539
4_2^+	1.4453(14)	1.5883	$4_2^+ \rightarrow 3_1^+$ $4_2^+ \rightarrow 4_1^+$ $4_2^+ \rightarrow 2_2^+$ $4_2^+ \rightarrow 2_1^+$	0.1976 0.4603 0.6707 1.0381	0.3384 0.7516 0.6015 1.3375
0_3^+	1.4815(15)	1.4035	$0_3^+ \rightarrow 2_1^+$	1.0743	1.1527
2_4^+		1.5840	$2_4^+ \rightarrow 2_2^+$ $2_4^+ \rightarrow 2_1^+$ $2_4^+ \rightarrow 0_1^+$		0.5972 1.3332 1.5840
6_1^+	1.7133(16)	1.7588	$6_1^+ \rightarrow 4_1^+$	0.7283	0.9221

2_5^+	1.7716	$2_5^+ \text{---} 4_2^+$ $2_5^+ \text{---} 2_2^+$ $2_5^+ \text{---} 2_1^+$ $2_5^+ \text{---} 0_1^+$	0.7283	0.9221 0.7848 1.5208 1.7716
4_3^+	1.9028	$4_3^+ \text{---} 3_1^+$ $4_3^+ \text{---} 2_1^+$		0.6529 1.6520
5_1^+	2.0297	$5_1^+ \text{---} 6_1^+$ $5_1^+ \text{---} 4_2^+$ $5_1^+ \text{---} 3_2^+$ $5_1^+ \text{---} 4_1^+$		0.2709 0.4414 0.7798 1.1930
3_2^+	2.1119	$3_2^+ \text{---} 3_1^+$		0.8620
4_5^+	2.2597	$4_5^+ \text{---} 4_1^+$ $4_5^+ \text{---} 2_1^+$		1.4230 2.0089
5_2^+	2.4923	$5_2^+ \text{---} 4_2^+$ $5_2^+ \text{---} 4_1^+$		0.9040 1.6556
6_2^+	2.5209	$6_2^+ \text{---} 6_1^+$ $6_2^+ \text{---} 4_1^+$		0.7621 1.6842
6_3^+	2.9024	$6_3^+ \text{---} 6_1^+$ $6_3^+ \text{---} 4_1^+$		1.1436 2.0657
6_4^+	2.9807	$6_4^+ \text{---} 6_1^+$ $6_4^+ \text{---} 4_1^+$		1.2219 2.1440
8_1^+	3.0185	$8_1^+ \text{---} 6_1^+$		1.2597
7_1^+	3.1520	$7_1^+ \text{---} 8_1^+$		0.1335
8_2^+	3.7826	$8_2^+ \text{---} 8_1^+$		0.7641
10_1^+	4.6171	$10_1^+ \text{---} 8_1^+$		1.5986

جدول (3): قيم طاقات الحزم (g, β, γ bands) النظرية (pw) والعملية للنظير البلاتينيوم (Pt(A=198))
 ملاحظة: تقرا Γ^+ للحزمة الأرضية (g-band) أو حزمة بيتا (β -band) وتقرا (Γ^+) لحزمة كاما (γ -band)

Isotopes	Behavior	Bands	g-band or β -band (γ -band) ^(a) (MeV)								
			0 ⁺ (2 ⁺)	2 ⁺ (3 ⁺)	4 ⁺ (4 ⁺)	6 ⁺ (5 ⁺)	8 ⁺ (6 ⁺)	10 ⁺ (7 ⁺)	12 ⁺ (8 ⁺)	14 ⁺ (9 ⁺)	
198 78Pt ₁₂₀	O(6)- SU(3)- U(5)	B _{theo}	0.0000	0.2508	0.8367	1.7588	3.0185	4.6171			
		B _{exp}	0.0000	0.4072	0.9850	1.7133 ^(c)	-	-			
		β _{theo}	0.9590	1.2539	1.9028	2.9024					
		β _{exp}	0.9145	1.2797	-	-					
		γ _{theo}	1.4035	1.7716	2.5476						
		γ _{exp}	1.4815 ^(b)	-	-						
		γ _{theo}	0.9868	1.2499	1.5883	2.0297	2.5209	3.1520	3.7826		
		γ _{exp}	0.7746	1.2477	1.4453 ^(a)	-	-	-	-		
		γ _{theo}	1.5840	2.1119	2.2597	2.4923	2.9807				
		γ _{exp}	-	-	-	-	-	-	-		

(a)-Ref.No.(14).
 (b)-Ref.No.(15).
 (c)-Ref.No.(16).

جدول (4): قيم اعلومات عناصر المصفوفة المختزلة $\langle I_f | \hat{T}^{(E2)} | I_i \rangle$

Isotopes	N π	N ν	Behavior	α_2 (eb)	β_2 (eb)
¹⁹⁸ Pt ₁₂₀ 78	2	3	O(6)-SU(3)-U(5)	0.21010	0.13870

جدول (5): القيم النظرية $\langle I_f | \hat{T}^{(E2)} | I_i \rangle$ ومقارنتها مع القيم العملية للنظير

Pt-198 عند التناظر الديناميكي O(6)-SU(3)-U(5)

Spin Sequences	Exp.			IBM-1(pw)	
	$\langle I_f \hat{T}^{(E2)} I_i \rangle$ (eb) ²	B(E2) (eb)	Ref.	$\langle I_f \hat{T}^{(E2)} I_i \rangle$ (eb)	B(E2) (eb) ²
2 ₁ ⁺ -0 ₁ ⁺	2.2472 1.5149 1.88105 _(0.00001)	1.01 0.459 0.7345 _(0.00001)	(17) (18) (WEAV)	1.0221	0.2089
2 ₂ ⁺ -2 ₁ ⁺				0.8349	0.1394
2 ₂ ⁺ -0 ₁ ⁺	0.3202	0.0205	(18)	0.6363	0.0810
0 ₂ ⁺ -2 ₁ ⁺				-0.2055	0.0422
4 ₁ ⁺ -2 ₁ ⁺				1.5687	0.2734

$3_1^+ - 2_2^+$			1.3480	0.2596
$2_3^+ - 2_2^+$			-0.3733	0.0279
$2_3^+ - 2_1^+$			0.2452	0.0120
$2_3^+ - 0_1^+$			-0.1148	0.0026
$4_2^+ - 3_1^+$			-1.1034	0.1353
$4_2^+ - 4_1^+$			-1.0229	0.1163
$4_2^+ - 2_2^+$			-1.1798	0.1547
$4_2^+ - 2_1^+$			-0.5105	0.0290
$0_3^+ - 2_1^+$			0.0928	0.0086
$2_4^- - 2_2^+$			-0.3730	0.0278
$2_4^+ - 2_1^+$			0.0008	$0.0001 \cdot 10^2$
$2_4^+ - 0_1^+$			0.0720	0.0010
$6_1^+ - 4_1^+$			1.8123	0.2526
$2_5^+ - 2_2^+$			-0.3182	0.0202
$2_5^+ - 2_1^+$			-0.0771	0.0012
$2_5^+ - 0_1^+$			0.0283	0.0002
$4_2^- - 3_1^+$			-0.0772	0.0007
$4_3^- - 2_1^+$			0.1044	0.0012
$5_1^+ - 6_1^+$			-1.0625	0.1026
$5_1^+ - 4_2^+$			-0.5823	0.0308
$5_1^+ - 3_1^+$			1.3458	0.1647
$5_1^+ - 4_1^+$			-0.7869	0.0563
$3_2^+ - 3_1^+$			$0.0009 \cdot 10^{-5}$	$0.0001 \cdot 10^{-11}$
$4_5^+ - 4_1^+$			-0.0468	0.0002
$4_5^+ - 2_1^+$			0.0506	0.0003
$5_2^+ - 4_2^+$			-0.7983	0.0579
$5_2^+ - 4_1^+$			-0.0141	$0.0002 \cdot 10^{-1}$
$6_2^+ - 6_1^+$			-0.9182	0.0649
$6_2^+ - 4_1^+$			-0.3931	0.0119
$4_6^+ - 4_1^+$			-0.0421	0.0002
$4_6^+ - 2_1^+$			0.0039	$0.0002 \cdot 10^{-2}$
$6_3^+ - 6_1^+$			-0.2677	0.0055
$6_3^+ - 4_1^+$			0.0475	0.0002
$6_4^+ - 6_1^+$			-0.1240	0.0012
$6_4^+ - 4_1^+$			0.0481	0.0002
$8_1^+ - 6_1^+$			1.8138	0.1935
$7_1^+ - 8_1^+$			-1.0040	0.0672
$8_2^+ - 8_1^+$			0.6455	0.0245

جدول (6) : قيم نسب التفرغ النظرية (pw) والعملية ومقارنتها مع نسب المثالية (8) للتناظر الديناميكي للتناظر الديناميكي للنظير Pt(A= 198)

Isotopes	B(E2;4 ₁ ⁺ -2 ₁ ⁺)		B(E2;2 ₂ ⁺ --2 ₁ ⁺)		B(E2;0 ₂ ⁺ -2 ₁ ⁺)		B(E2;6 ₁ ⁺ -4 ₁ ⁺)		B(E2;5 ₁ ⁺ -6 ₁ ⁺)	
	B(E2;2 ₁ ⁺ -0 ₁ ⁺)		B(E2;2 ₁ ⁺ -0 ₁ ⁺)		B(E2;2 ₁ ⁺ -0 ₁ ⁺)		B(E2;2 ₁ ⁺ -0 ₁ ⁺)		B(E2;5 ₁ ⁺ -3 ₁ ⁺)	
	exp	IBM-1 (PW)	exp	IBM-1 (PW)	exp	IBM-1 (PW)	exp	IBM-1 (PW)	exp	IBM-1 (PW)
¹⁹⁸ ₇₈ Pt120	-	1.31	-	0.67	-	0.20	-	1.21	-	0.62
(8) Dynamical Symmetry	O(6)-SU(3)-U(5)		2		2		2			

جدول (7) : العزوم الكهربائية رباعية القطب النظرية (pw) للنظير Pt(A= 198)

Isotopes	Behavior	Electric Quadrupole Moment			
		Q2 ₁ ⁺		Q2 ₂ ⁺	
		EXP.	IBM-1(pw)	EXP.	IBM-1(PW)
¹⁹⁸ ₇₈ Pt120	O(6)-SU(3)-U(5)	-	-1.1099	-	+1.2171

جدول (8) : قيم اعلومات عناصر المصفوفة المختزلة $\langle I_f || \hat{T}^{(M1)} || I_i \rangle$

Isotopes	Behavior	$\beta_1(\mu N)$	$\alpha_1(\mu N)$	$\gamma_1(\mu N)$	$\delta_1(\mu N)$	$\eta_1(\mu N)$
¹⁹⁸ ₇₈ Pt120	O(6)-SU(3)-U(5)	-0.001480	0.002317	0.003763	0.004043	0.002767

جدول (9): القيم النظرية لـ $\langle I_f || \hat{T}^{(M1)} || I_i \rangle$ و B(M1) , M₁ , g₁ ومقارنتها

مع القيم العملية للنظير (pt-198) عند التناظر O(6)-SU(3)-U(5)

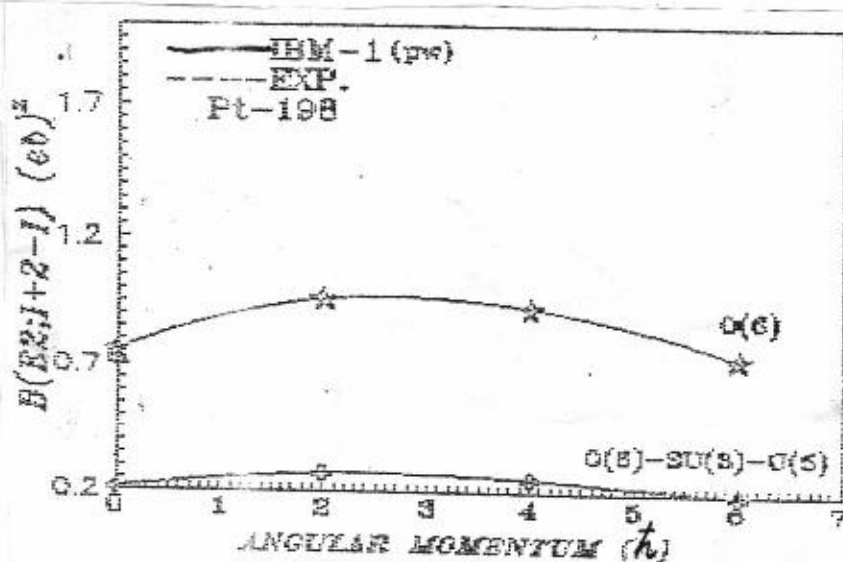
Spin Sequences	(IBm-1) (pw)			
	$\langle I_f \hat{T}^{(M1)} I_i \rangle$ (μN)	B(M1) (μN) ²	M ₁ (μN)	g ₁ (μN)
2 ₁ ⁺ ---0 ₁ ⁺	0	0	0	0
2 ₂ ⁺ ---2 ₁ ⁺	0.0099	0.0002*10 ⁻¹	0.0074	0.0037
2 ₂ ⁺ ---0 ₁ ⁺	0	0	0	0
0 ₂ ⁺ ---2 ₁ ⁺	0	0	0	0
4 ₁ ⁺ ---2 ₁ ⁺	0.0094	0.0001*10 ⁻¹	0.0057	0.0014
3 ₁ ⁺ ---2 ₂ ⁺	-0.0090	0.0001*10 ⁻¹	0.0061	0.0020

$2_3^+ \text{---} 2_2^+$	0.0015	$0.0005 \cdot 10^{-3}$	0.0011	0.0006
$2_3^+ \text{---} 2_1^+$	-0.0112	$0.0002 \cdot 10^{-1}$	0.0084	0.0042
$2_3^+ \text{---} 0_1^+$	0	0	0	0
$4_2^+ \text{---} 3_1^+$	0.0026	$0.0007 \cdot 10^{-3}$	0.0016	0.0004
$4_2^+ \text{---} 4_1^+$	0.0267	$0.0008 \cdot 10^{-1}$	0.0163	0.0041
$4_2^+ \text{---} 2_2^+$	0.0038	$0.0002 \cdot 10^{-2}$	0.0023	0.0006
$4_2^+ \text{---} 2_1^+$	0.0026	$0.0007 \cdot 10^{-3}$	0.0016	0.0004
$0_3^+ \text{---} 2_1^+$	0	0	0	0
$2_4^+ \text{---} 2_2^+$	0.0176	$0.0006 \cdot 10^{-1}$	0.0131	0.0066
$2_4^+ \text{---} 2_1^+$	-0.0020	$0.0008 \cdot 10^{-3}$	0.0015	0.0007
$2_4^+ \text{---} 0_1^+$	0	0	0	0
$6_1^+ \text{---} 4_1^+$	0.0094	$0.0007 \cdot 10^{-2}$	0.0049	0.0008
$2_5^+ \text{---} 2_2^+$	0.0020	$0.0008 \cdot 10^{-3}$	0.0015	0.0007
$2_5^+ \text{---} 2_1^+$	0.0009	$0.0002 \cdot 10^{-3}$	0.0007	0.0003
$2_5^+ \text{---} 0_1^+$	0	0	0	0
$4_3^+ \text{---} 3_1^+$	-0.0079	$0.0007 \cdot 10^{-2}$	0.0048	0.0012
$4_3^+ \text{---} 2_1^+$	-0.0079	$0.0007 \cdot 10^{-2}$	0.0048	0.0012
$5_1^+ \text{---} 6_1^+$	0.0094	$0.0008 \cdot 10^{-2}$	0.0053	0.0011
$5_1^+ \text{---} 4_2^+$	-0.0091	$0.0007 \cdot 10^{-2}$	0.0051	0.0010
$5_1^+ \text{---} 3_2^+$	0.0094	$0.0008 \cdot 10^{-2}$	0.0053	0.0011
$5_1^+ \text{---} 4_1^+$	0.0094	$0.0008 \cdot 10^{-2}$	0.0053	0.0011
$3_2^+ \text{---} 3_1^+$	0.0171	$0.0004 \cdot 10^{-4}$	0.0115	0.0038
$4_5^+ \text{---} 4_1^+$	0.0011	$0.0001 \cdot 10^{-3}$	0.0007	0.0002
$4_5^+ \text{---} 2_1^+$	0.0008	$0.0007 \cdot 10^{-4}$	0.0005	0.0001
$5_2^+ \text{---} 4_2^+$	0.0038	$0.0001 \cdot 10^{-2}$	0.0021	0.0004
$5_2^+ \text{---} 4_1^+$	0.0026	$0.0006 \cdot 10^{-3}$	0.0014	0.0003
$6_2^+ \text{---} 6_1^+$	0.0531	0.0002	0.0279	0.0047
$6_2^+ \text{---} 4_1^+$	0.0026	$0.0005 \cdot 10^{-3}$	0.0013	0.0002
$6_3^+ \text{---} 6_1^+$	-0.0304	$0.0007 \cdot 10^{-1}$	0.0160	0.0027
$6_3^+ \text{---} 4_1^+$	-0.0079	$0.0005 \cdot 10^{-2}$	0.0042	0.0007
$6_4^+ \text{---} 6_1^+$	-0.0059	$0.0003 \cdot 10^{-2}$	0.0031	0.0005
$6_4^+ \text{---} 4_1^+$	-0.0013	$0.0001 \cdot 10^{-3}$	0.0007	0.0001
$8_1^+ \text{---} 6_1^+$	0.0094	$0.0005 \cdot 10^{-2}$	0.0044	0.0005
$7_1^+ \text{---} 8_1^+$	0.0094	$0.0006 \cdot 10^{-2}$	0.0046	0.0007
$8_2^+ \text{---} 8_1^+$	0.0892	0.0005	0.0417	0.0052

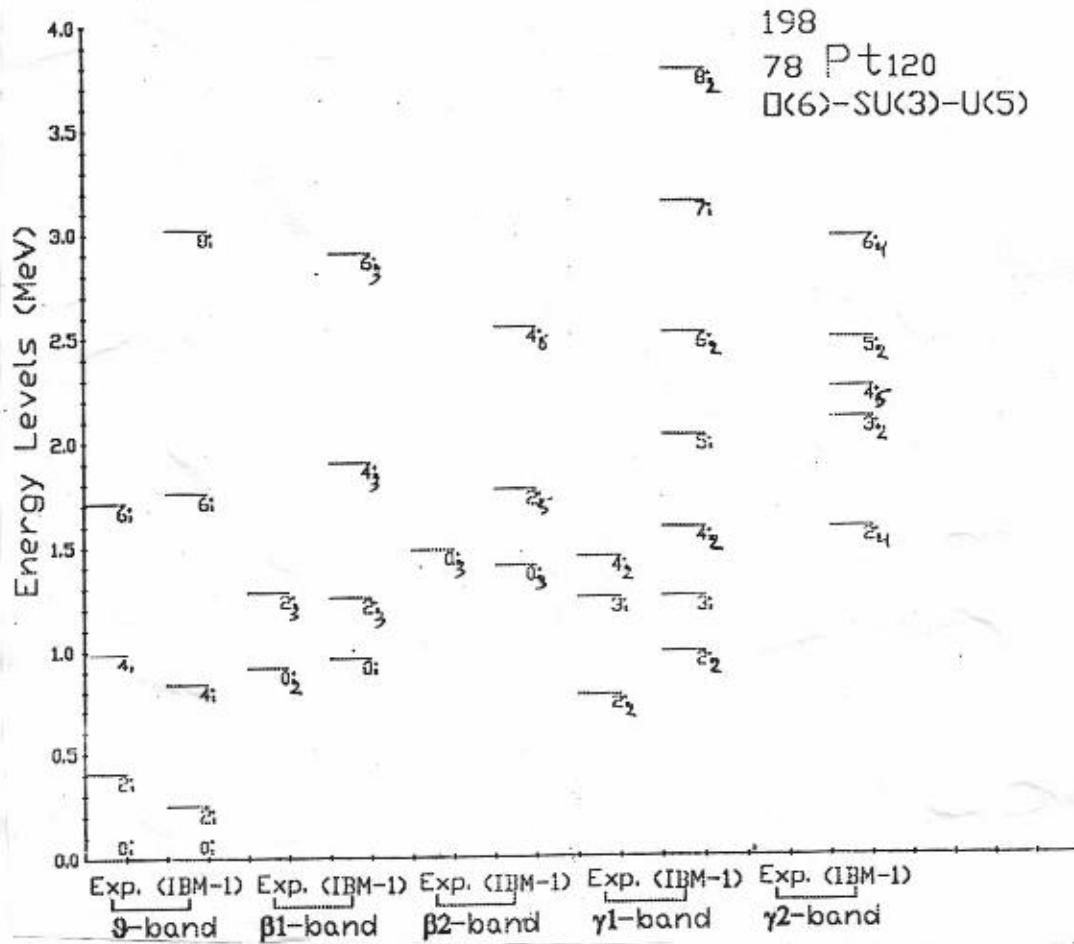
جدول (10) : نسب الخلط δ (E2/M1) ونسب الخلط المختزلة $\Delta(E2/M1)$ وتعدد القطبية ومقارنتها مع القيم العملية للنظير Pt-198 عند التناظر الديناميكي O(6)-SU(3)-U(5)

Spin Sequences	Exp.			(IBM-1) (pw)		Multipolarity	
	E γ (MeV)	δ (E2/M1)	Ref.	δ (E2/M1)	$\Delta(E2/M1)$	Exp	(IBM-1)
$2_1^+ \rightarrow 0_1^+$	0.4072			∞			E2
$2_2^+ \rightarrow 2_1^+$	0.3674			25.817	84.3333		E2+<1% M1+(E0)
$2_2^+ \rightarrow 0_1^+$	0.7746			∞	∞		E2
$0_2^+ \rightarrow 2_1^+$	0.5073			∞	∞		E2
$4_1^+ \rightarrow 2_1^+$	0.5778			80.5149	166.883		E2
$3_1^- \rightarrow 2_2^-$	0.4731			-59.1680	-149.7778		E2+<1%M1
$2_3^+ \rightarrow 2_2^+$	0.5051			-104.9616	-248.8667		E2+<1%M1 M1+(E0)
$2_3^+ \rightarrow 2_1^+$	0.8725			-15.9498	-21.8929		E2+1.1% M1+(E0)
$2_3^+ \rightarrow 0_1^+$	1.2797			∞	∞		E2
$4_2^+ \rightarrow 3_1^+$	0.1976			-70.0218	-424.3846		E2+<1%M1
$4_2^+ \rightarrow 4_1^+$	0.4603			-14.7248	-38.3109		E2+2.7% M1+(E0)
$4_2^+ \rightarrow 2_2^+$	0.6707			173.8760	-310.4737		E2
$4_2^+ \rightarrow 2_1^+$	1.0381			-170.1955	-196.3462		E2
$0_3^+ \rightarrow 2_1^+$	1.0743			∞	∞		E2
$2_4^+ \rightarrow 2_2^+$	0.5972			-10.5682	-21.1932		E2+1.8% M1+(E0)
$2_4^+ \rightarrow 2_1^+$	1.3332			-0.4453	-0.4000		M1+<1% E2+(E0)
$2_4^+ \rightarrow 0_1^+$	1.5840			∞	∞		E2
$6_1^+ \rightarrow 4_1^+$	0.7283			117.2463	192.7979		E2
$2_5^+ \rightarrow 2_2^+$	0.7848			-104.2595	-159.1000		E2+<1% M1+(E0)
$2_5^+ \rightarrow 2_1^+$	1.5208			-108.7854	-85.6667		E2+<<1% M1+(E0)
$2_5^+ \rightarrow 0_1^+$	1.7716			∞	∞		E2
$4_3^+ \rightarrow 3_1^+$	0.6529			5.3273	9.7722		E2+1% M
$4_3^+ \rightarrow 2_1^+$	1.6520			-18.2293	-13.2152		E2
$5_1^+ \rightarrow 6_1^+$	0.2709			-25.5680	113.0319		E2+1% M
$5_1^+ \rightarrow 4_2^+$	0.4414			23.5844	63.9890		E2+1% M
$5_1^+ \rightarrow 3_2^+$	0.7798			93.2223	143.1702		E2
$5_1^+ \rightarrow 4_1^+$	1.1930			-83.3909	-83.7128		E2+1% M
$3_2^- \rightarrow 3_1^-$	0.8620			0.0003^*10^{-3}	0.0005^*10^{-3}		M1+<<1% E1+(E0)
$4_5^+ \rightarrow 4_1^+$	1.4230			-50.5527	-42.5455		E2+0.1% M1+(E0)
$4_5^+ \rightarrow 2_1^+$	2.0089			106.0975	63.2500		E2
$5_2^+ \rightarrow 4_2^+$	0.9040			-158.5760	-210.0770		E2+<1% M
$5_2^+ \rightarrow 4_1^+$	1.6556			-7.4970	-5.4231		E2+<1% M
$6_2^+ \rightarrow 6_1^+$	0.7621			-11.0038	-17.2919		E2+5.3% M1+(E0)
$6_2^+ \rightarrow 4_1^+$	1.6842			-212.6228	-151.1923		E2
$6_3^+ \rightarrow 6_1^+$	1.1436			8.4088	8.8059		E2+3% M1+(E0)

$6_1^+ \rightarrow 4_1^+$	2.0657		-10.3710	-6.0127		E2
$6_4^+ \rightarrow 6_1^+$	1.2219		21.4433	21.0179		E2+0.6% MI+(E0)
$6_4^+ \rightarrow 4_1^+$	2.1440		-66.2389	-37.000		E2
$8_1^+ \rightarrow 6_1^+$	1.2597		202.9622	192.9575		E2
$7_1^+ \rightarrow 8_1^+$	0.1335		-11.9062	-106.8085		E2+1% M
$8_2^+ \rightarrow 8_1^+$	0.7641		4.6171	7.2365		E2+8.9% MI+(E0)



شكل (1) : مستويات الطاقة للحزم (β, γ) النظرية (pw) ومقارنتها مع مستويات العملية للنظير (pt=198) عند التناظر الدينامي $O(6)-SU(3)-U(5)$



شكل (2): احتمالية الانتقال الكهربائي القطب كدالة للزخم الزاوي عند التناظرين

O(6)-SU(3)-U(5) و O(6)- للنظير Pt=198

B(E2), B(M1) and $\delta(E2/M1)$ of Pt (A=198 & Z=78) Isotope Using IBM-1

K.S.Ibraheim, I.TAl-Alawy and H.T.Sulaiman
Department of Physics , College of Science, University of
Al-Mustansiriyah

Abstract

Interacting boson model version one has been used in the present theoretical calculations. The energy levels & their transitions for dynamical symmetry O(6), SU(3), U(5), ground-state band, Beta-band, Gamma band , B(E2), Q_1 , B(M1), μ_{1,g_1} and $\delta(E2/M1)$ have been calculated to deduce the limit of Pt-198, Z=78. The present results confirmed the nuclear behavior of this isotope lay in the transitional region O(6), SU(3) U(5). The calculations of Q_{21}^+ & Q_{22}^+ showed that the shape of this isotope is oblate according to Q_{21}^+ and prolate according to Q_{22}^+ .

Most of our results are in good agreement with the available experimental results.